



Justifique as suas respostas.

1. Uma onda electromagnética monocromática num dieléctrico isotrópico, linear e sem absorção pode ser descrita por:

$$\frac{100 \text{ (V)}}{\sqrt{x^2 + y^2 + z^2}} e^{i(2.979 \times 10^{15} \text{ (rad/s)}t + 1.579 \times 10^7 \text{ (rad/m)}\sqrt{x^2 + y^2 + z^2} + \pi/2)}.$$

Usam-se coordenadas cartesianas, com grandezas no SI. A descrição usada é a de uma onda *escalar* (e é portanto ainda incompleta).

a) Diga se é progressiva, plana ou esférica e qual o sentido de propagação. (1 V)

b) Qual o comprimento de onda no vácuo (note que não conhece o índice de refração) ? (1.5 V)

Soluções

a) Progressiva, esférica 3D, sentido para dentro. Por comparação com forma geral.

b)

$$\left\{ \begin{array}{l} \omega = 2.979 \times 10^{15} \text{ (rad/s)} \\ k = 1.579 \times 10^7 \text{ (rad/m)} \end{array} \right\} \left\{ \begin{array}{l} v = \frac{\omega}{k} = 1.887 \times 10^8 \text{ (m/s)} \\ v = \frac{c}{n} \\ \lambda = \frac{2\pi}{k} = 398 \text{ (nm)} \\ \lambda_0 = n\lambda = 632 \text{ (nm)} \end{array} \right.$$

2. Placa de vidro ($n = 1.5$; 2 cm de espessura) na horizontal, dentro de água ($n = 4/3$). Tem um feixe de um laser de He-Ne (632.8 nm) a propagar-se num plano vertical dentro de água. Incide no vidro (ângulo de incidência 30°) e quer saber o que se passa na reflexão externa água-vidro. O campo eléctrico apenas tem componente no plano vertical (radiação linearmente polarizada; amplitude 100 V/m).

a) Qual a amplitude do campo eléctrico do feixe refletido (em água) e transmitido (no vidro) ? Faça um esquema onde represente o vetor campo eléctrico da radiação incidente, refletida e transmitida. (1.5 V)

b) Qual a densidade de fluxo de energia, em mW/cm², do feixe incidente (por vezes chamade irradiância; feixe a propagar-se em água) ? (1.5 V)

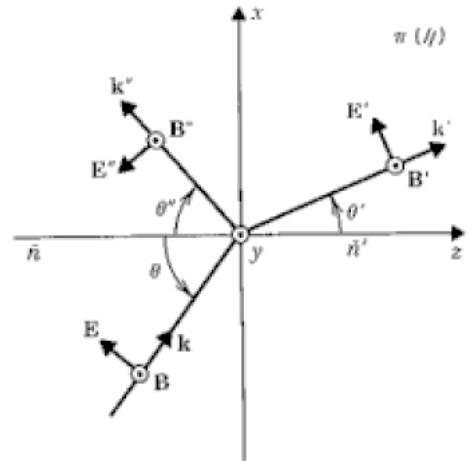
c) Qual a densidade de fluxo de energia, em mW/cm², dos feixes refletido e transmitido ? Compare-as com a densidade de fluxo do feixe incidente e comente. (1.5 V)

Soluções

a) Análise crítica: campo elétrico paralelo ao plano incidência \Rightarrow Fresnel para componente paralela.

$$\begin{cases} \theta = 30^\circ \\ \theta' = 26.39^\circ \end{cases}$$

$$\begin{cases} \tau_{\parallel} = \frac{E'_{\parallel}}{E_{\parallel}} = 0.9262 \\ \rho_{\parallel} = \frac{E''_{\parallel}}{E_{\parallel}} = 0.04162 \end{cases} \quad \begin{cases} E'_{\parallel} = 92.62 \text{ V/m} \\ E''_{\parallel} = 4.162 \text{ V/m} \end{cases}$$

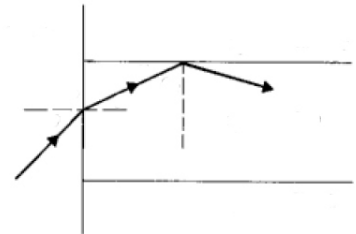


b) $\langle \bar{S} \rangle = n \left[\frac{1}{2} \epsilon_0 c |\bar{E}_0|^2 \hat{s} \right] e^{-kr} = 17.696 \text{ W/m}^2 = 1.7696 \text{ mW/cm}^2$.

c)

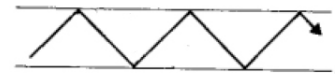
$$\begin{cases} T = |\tau_{\parallel}|^2 \frac{n' \cos \theta'}{n \cos \theta} = 0.9982 \\ R = |\rho_{\parallel}|^2 = 1.761 \times 10^{-3} \end{cases} \quad \begin{cases} \langle \bar{S} \rangle' = 1.766 \text{ mW/cm}^2 \\ \langle \bar{S} \rangle'' = 3.116 \times 10^{-3} \text{ mW/cm}^2 \end{cases}$$

3. Aproximação de raio meridional de ótica geométrica para um guia de ondas. Fibra ótica de $n = 1.6$ e coeficiente de absorção 0.2 m^{-1} , protegida por um material de $n = 1.4$ (refletância de 0.9995 em cada reflexão interna na fibra). Diâmetro $50 \mu\text{m}$. Comprimento 1 m. Incidência na fibra a partir do ar.



a) Qual o ângulo de incidência máximo que permite a propagação na fibra ? (1.5 V)

b) Calcule o número de reflexões internas até à saída da fibra, nas condições da alínea anterior. (1 V)



c) Qual a fracção da energia que espera que sobreviva à saída da fibra, por influência exclusiva da absorção e da reflexão interna ? Qual o significado prático deste resultado ? (1.5 V)

Soluções

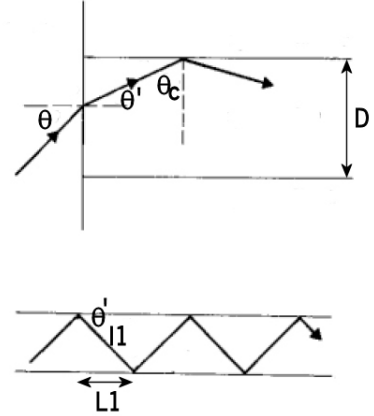
a) Ponto de partida, nas condições de incidência na parede interna com ângulo crítico:

$$\begin{cases} n_o \sin \theta = n_f \sin \theta' \\ \theta_c = \pi/2 - \theta' \\ n_f \sin \theta_c = n_o \end{cases}$$

A partir de este ponto, é possível escolher uma solução puramente numérica ou uma solução analítica, consoante a personalidade de cada aluno. Se se usar resolução analítica genérica, chega-se a $AN = n_o \sin \theta = \sqrt{n_f^2 - n_o^2} = 0.7746$. $\theta = 50.77^\circ$. Se se optar por uma solução puramente numérica, os resultados têm de ser iguais.

b)

$$\begin{cases} N \simeq \frac{L}{L_1} \\ \tan \theta' = \frac{D}{L_1} \\ n_o \sin \theta = n_f \sin \theta' \end{cases} \quad \begin{cases} N \simeq 11066 \\ \theta' = 28.96^\circ \end{cases}$$



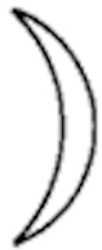
c)

$$\begin{cases} T_{\text{REF}} = R_1^N = 0.00395 \\ T_{\text{REF}} = \exp \{ -K L_{\text{REAL}} \} = \exp \left\{ -K \frac{L}{\cos \theta'} \right\} = 0.796 \\ n_o \sin \theta = n_f \sin \theta' \end{cases}$$

Devido ao enorme número de reflexões internas, é absolutamente necessário garantir condições de reflexão interna total, para que propagação na fibra seja eficiente.

4. Lente de 4 cm de espessura de material com $n = 1.60$, em ar. Raios de curvatura das superfícies esféricas 20 e 10 cm. Métodos matriciais, na aproximação paraxial. Figura ilustrativa, não desenhada à escala.

- Quais as matrizes para a refração na 1a. e na 2a. superfícies? Qual a matriz global, para a lente (referida aos vértices das superfícies refratoras)? (2 V)
- Calcule a localização dos planos principais. Desenhe a lente e os planos principais. (1.5 V)
- Qual a matriz da lente, na aproximação das lentes delgadas? Quais as potências da lente e da lente delgada? Qual o valor que melhor descreve a situação física? (1 V)



Soluções

a)

$$\begin{cases} P = \frac{n_1 - n}{R} = -0.03 \text{ cm}^{-1} \\ P' = \frac{n' - n_1}{R'} = +0.06 \text{ cm}^{-1} \end{cases}$$

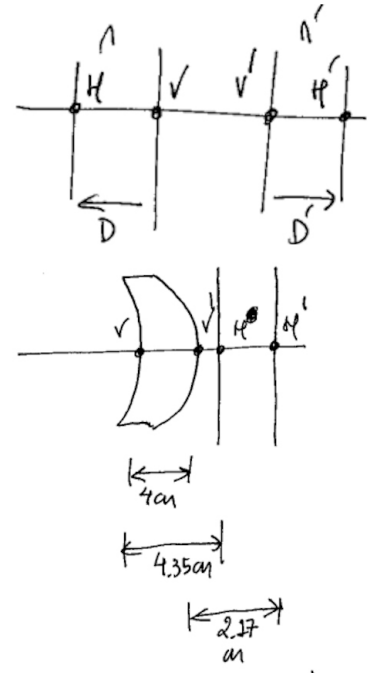
$$M_R = \begin{pmatrix} 1 & -P \\ 0 & 1 \end{pmatrix}; M_{R'} = \begin{pmatrix} 1 & -P' \\ 0 & 1 \end{pmatrix}; M_T = \begin{pmatrix} 1 & 0 \\ \frac{D_1}{n_1} & 1 \end{pmatrix}.$$

$$M_{LENTE\ ESPESSA} = M_{R'} M_T M_R = \begin{pmatrix} 1 - \frac{D_1 P'}{n_1} & \frac{D_1 P P'}{n_1} - (P + P') \\ \frac{D_1}{n_1} & 1 - \frac{D_1 P}{n_1} \end{pmatrix} = \begin{pmatrix} 0.85 & -0.0345 \text{ cm}^{-1} \\ 2.5 \text{ cm} & 1.075 \end{pmatrix}.$$

Não é suposto fazer o calculo analítico na matriz, na forma geral. Basta multiplicar as matrizes numéricas de cada elemento.

b) Lente espessa.

$$\begin{cases} D = \frac{n D_1 P'}{-n_1 P_1} = -4.35 \text{ cm} \\ D' = \frac{n' D_1 P}{-n_1 P_1} = +2.17 \text{ cm} \\ P_1 = +0.0345 \text{ cm}^{-1} \end{cases}$$



c)

$$M_{LENTE\ ESPESSA} = M_{R'} M_T M_R = \begin{pmatrix} 1 - \frac{D_1 P'}{n_1} & \frac{D_1 P P'}{n_1} - (P + P') \\ \frac{D_1}{n_1} & 1 - \frac{D_1 P}{n_1} \end{pmatrix} = \begin{pmatrix} 0.85 & -0.0345 \text{ cm}^{-1} \\ 2.5 \text{ cm} & 1.075 \end{pmatrix}.$$

$$M_{LENTE\ DELGADA} = M_{R'} \begin{pmatrix} 1 & 0 \\ 0 & 1 \end{pmatrix} \cdot M_R = \begin{pmatrix} 1 & -0.03 \text{ cm}^{-1} \\ 0 & 1 \end{pmatrix}.$$

$$\begin{cases} P_1 = +0.0345 \text{ cm}^{-1} \\ P_{\text{delgada}} = +0.03 \text{ cm}^{-1} \end{cases}$$

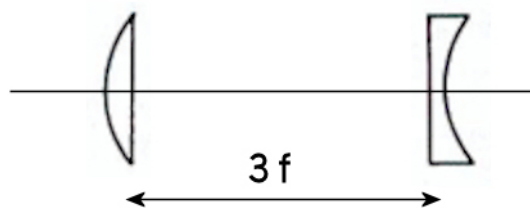
$P_1 = +0.0345 \text{ cm}^{-1}$ melhor porque aproximação lente delgada não justificável.

5. Ótica paraxial de lentes delgadas. 1a. lente positiva de $f = 4 \text{ cm}$; 2a. lente negativa de distância focal $-2f$; objecto colocado à distância de $2f$ da 1a. lente.

a) Indique a localização da imagem final. (2 V)

b) Indique a orientação e tamanho relativos da imagem final, em relação ao objecto. (1.5 V)

c) Use a técnica de traçado de raios para descrever a formação da imagem final, a partir do objecto. O esquema de traçado de raios é compatível com os resultados das alíneas anteriores ? (1 V)



Soluções

a)

$$\frac{1}{S} + \frac{1}{S'} = \frac{1}{f} \Leftrightarrow S' = \frac{Sf}{S - f}$$

$$\begin{cases} S_1 = 2f = +8 \text{ cm} \\ S'_1 = 2f = +8 \text{ cm} \end{cases} \quad \begin{cases} S_2 = f = +4 \text{ cm} \\ S'_1 = -\frac{2}{3}f = -\frac{8}{3} \text{ cm} = -2.67 \text{ cm} \end{cases}$$

Localização da imagem final: 2.67 cm à esquerda da 2a. lente.

b)

$$M_x = \frac{S'}{S}$$

$$\begin{cases} M_{x1} = -\frac{2f}{2f} = -1 \\ M_{x2} = \frac{2/3f}{f} = +0.67 \\ M_{x\text{TOTAL}} = M_{x1}M_{x2} = -0.67 \end{cases}$$

Imagem final: invertida e 67% de tamanho transversal, em relação ao objeto.

c) Traçado de raios e condição de formação de imagem da alínea anterior são equivalentes, na aproximação paraxial.

